

COMUNICAÇÃO TÉCNICA

N° 179803

Otimização do projeto de fundição de componentes para mineração através de simulação: desenvolvimento de liga em aço de manganês

Bianka Nani Venturelli Thiago Nagasima

> Palestra apresentada no ENCONTRO SUL-AMERICANO DE USUÁIOS MAGMA, 2025, Ribeirão Preto. 42 slides

"Comunicação Técnica" compreende trabalhos elaborados por técnicos do IPT, apresentados em eventos, publicados em revistas especializadas ou quando seu conteúdo apresentar relevância pública. **PROIBIDO REPRODUÇÃO**

Instituto de Pesquisas Tecnológicas do Estado de São Paulo S/A - IPT

Av. Prof. Almeida Prado, 532 | Cidade Universitária ou Caixa Postal 0141 | CEP 01064-970 São Paulo | SP | Brasil | CEP 05508-901 Tel 11 3767 4374/4000 | Fax 11 3767-4099

www.ipt.br







OTIMIZAÇÃO DO PROJETO DE FUNDIÇÃO DE COMPONENTES PARA MINERAÇÃO ATRAVÉS DE SIMULAÇÃO

Desenvolvimento de liga em aço ao manganês

Dra. Bianka Nani Venturelli e MSc. Thiago Nagasima



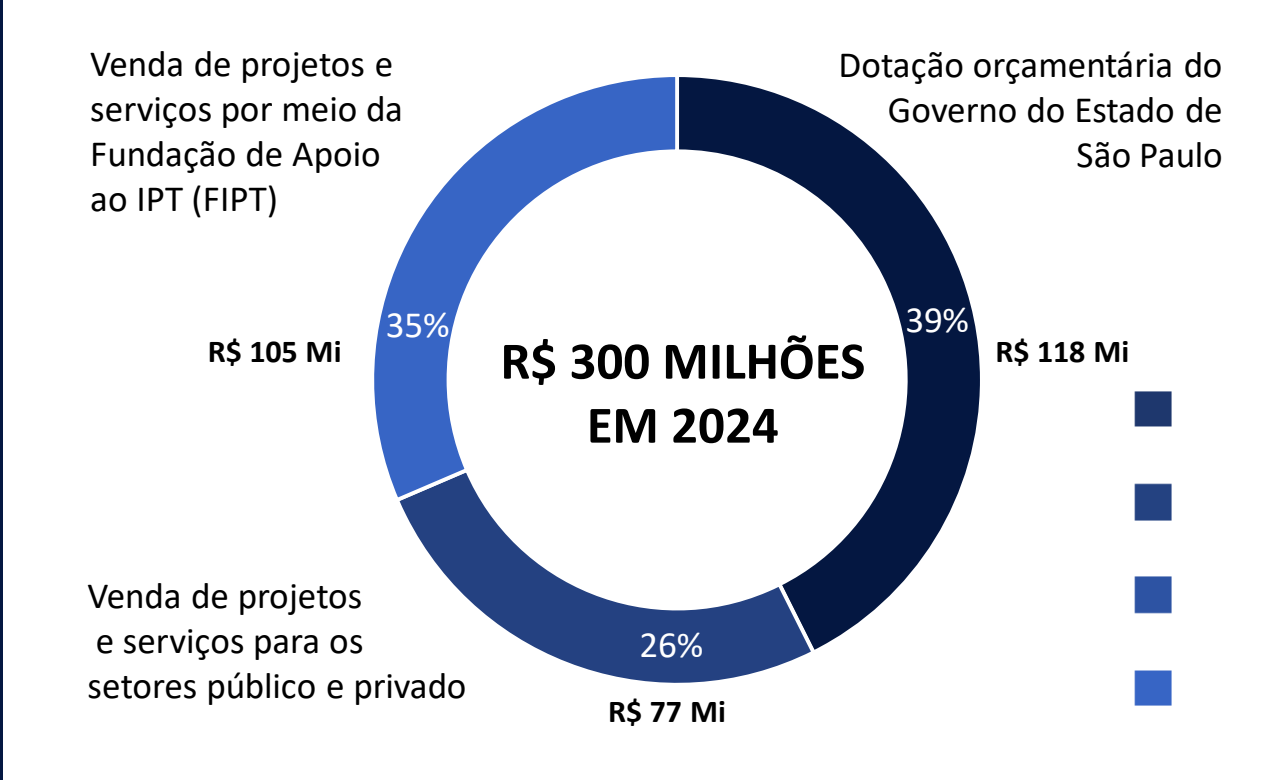
O QUE É O IPT?

EXISTIMOS PARA PROVER SOLUÇÕES
TECNOLÓGICAS PARA A INDÚSTRIA,
OS GOVERNOS E A SOCIEDADE,
HABILITANDO-OS A SUPERAR
SEUS DESAFIOS E PROMOVENDO

RECEITAS







IPT EM NÚMEROS*

QUALIDADE DE VIDA



125 ANOS DE CONTRIBUIÇÕES PARA A SOCIEDADE



> 1000 FUNCIONÁRIOS E COLABORADORES









> 2000 PROCEDIMENTOS DE ENSAIOS E ANÁLISES NO PORTFÓLIO



DIRETO EM ESG

LOCALIZAÇÃO ESTRATÉGICA

- USP
- Instituto Butantan
- Centro Tecnológico da Marinha
- Instituto de Pesquisas Energéticas e Nucleares - IPEN







O QUE FAZEMOS?

PESQUISA, DESENVOLVIMENTO E INOVAÇÃO

PRODUTOS E PROCESSOS

SOFTWARES

DA BANCADA AO PILOTO

APOIO DE FOMENTO

EMBRAPII

TESTES, ENSAIOS E ANÁLISES

PARECERES TÉCNICOS

AVALIAÇÃO

DE PRODUTOS

CERTIFICAÇÃO DE PRODUTOS INSPEÇÕES E MONITORAMENTOS

OBRAS E ESTRUTURAS

MÁQUINAS E EQUIPAMENTOS

ORGANISMO DE INSPEÇÃO ACREDITADO DESENVOLVIMENTO METROLÓGICO, MEDIÇÕES E CALIBRAÇÕES

> PROGRAMAS DE PROFICIÊNCIA

DESENVOLVIMENTO DE PADRÕES

METROLOGIA AVANÇADA

MATERIAIS DE REFERÊNCIA CERTIFICADOS

> METAIS CERÂMICAS

MINERAIS

VISCOSIDADE

AREIA NORMAL

ENSINO TECNOLÓGICO

> MESTRADO PROFISSIONAL

CURSOS DE EXTENSÃO

CURSOS SOB DEMANDA

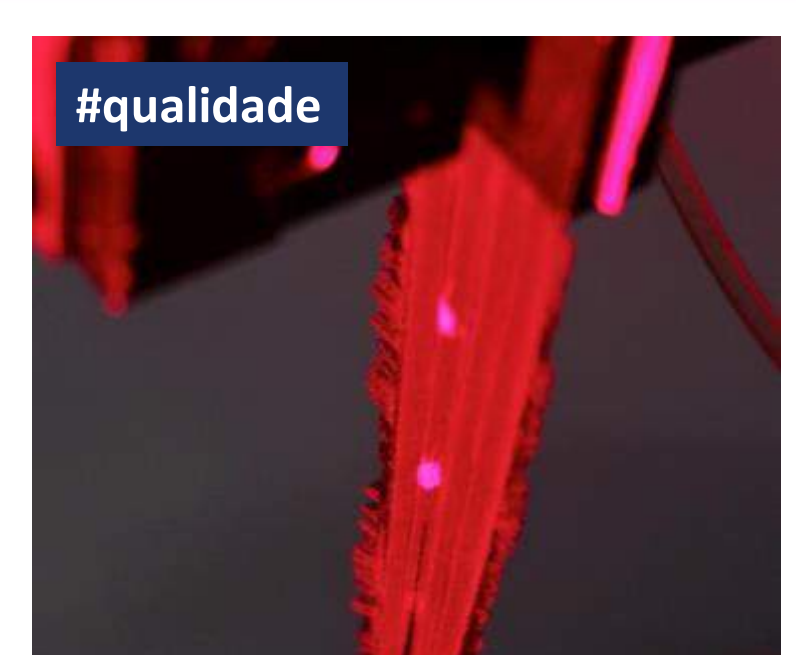




DIFERENCIAIS



- + 120 mil m² de laboratórios
- + 1000 profissionais qualificados Inúmeros caminhos para inovar



- + 2 mil ensaios e calibrações
- + 20 mil documentos técnicos por ano Referência em qualidade dos serviços



Nível de excelência no NPS NPS 84 (Net Promoter Score)





MATERIAIS AVANÇADOS

CORROSÃO E PROTEÇÃO

CORROSÃO NA INDÚSTRIA DE ÓLEO E GÁS CORROSÃO INTERNA, CORROSÃO EXTERNA E MONITORAMENTO REVESTIMENTOS METÁLICOS, ORGÂNICOS E NANOESTRUTURADOS LIGAS DE ALTA RESISTÊNCIA À CORROSÃO



42

PESSOAS

PROCESSOS METALÚRGICOS

FUNDIÇÃO
MANUFATURA ADITIVA
PROCESSOS DE CONFORMAÇÃO
PROCESSAMENTO MINERAL
REFINO PIROMETALÚRGICO E ELETROQUÍMICO



58

PESSOAS





DADOS RÁPIDOS

- UNIDADE EMBRAPII: MATERIAIS DE ALTO DESEMPENHO
- 36% DE MESTRES E DOUTORES
- CAPACITAÇÃO TÉCNICA MULTIDISCIPLINAR
- MODELAGEM FÍSICA E MATEMÁTICA
- DESENVOLVIMENTO DE CONCEITO, PROTÓTIPO E ESCALONAMENTO DE PROCESSOS
- INFRAESTRUTURA FÍSICA EM ESCALAS DE BANCADA E PILOTO





CONTEXTO

• A adição de 0,5 a 3 % de Nb em um aço Hadfield tem potencial para aumentar a resistência ao desgaste, devido à presença de partículas NbC de elevada dureza. Por isso, é importante a obtenção de microestrutura austenítica com os carbonetos de Nb bem distribuídos na matriz após tratamento térmico de solubilização.

- No entanto, o aço Hadfield com essas partículas pode apresentar redução significativa da resistência ao impacto.
- A viabilidade e otimização do teor de Nb adicionado ao aço Hadfield foi analisada em projetos anteriores sendo estabelecido a adição de 2%Nb para a produção do britador cônico.





AÇO HADFIELD COM NB

- aço Hadfield com adição de 2% Nb após tratamento térmico de solubilização a 1170°C.
- Dureza inicial: 280 ± 10 HV10kgf.

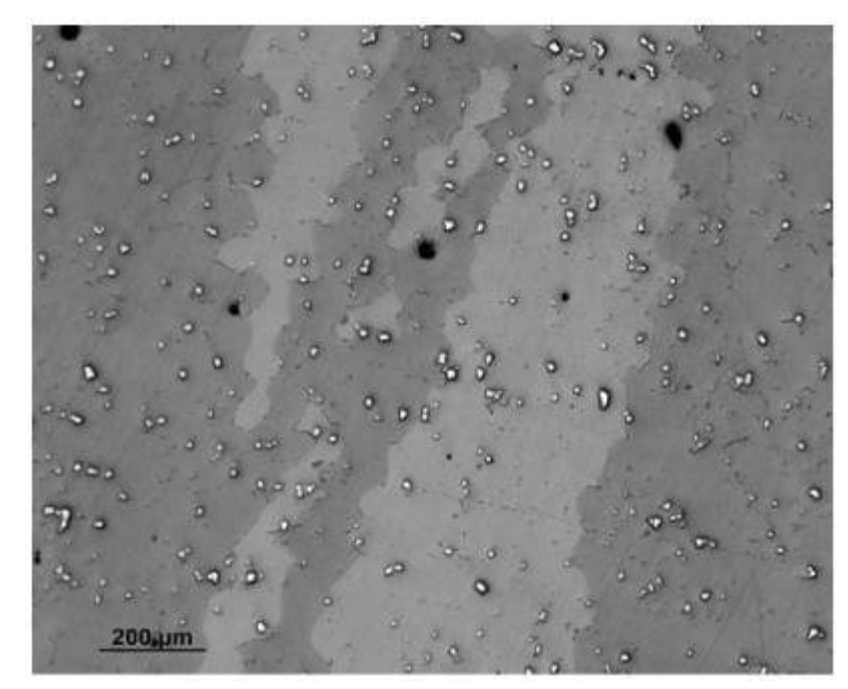


Imagem em MO. Ataque químico: Nital, 3%. Aumento original de 100x.

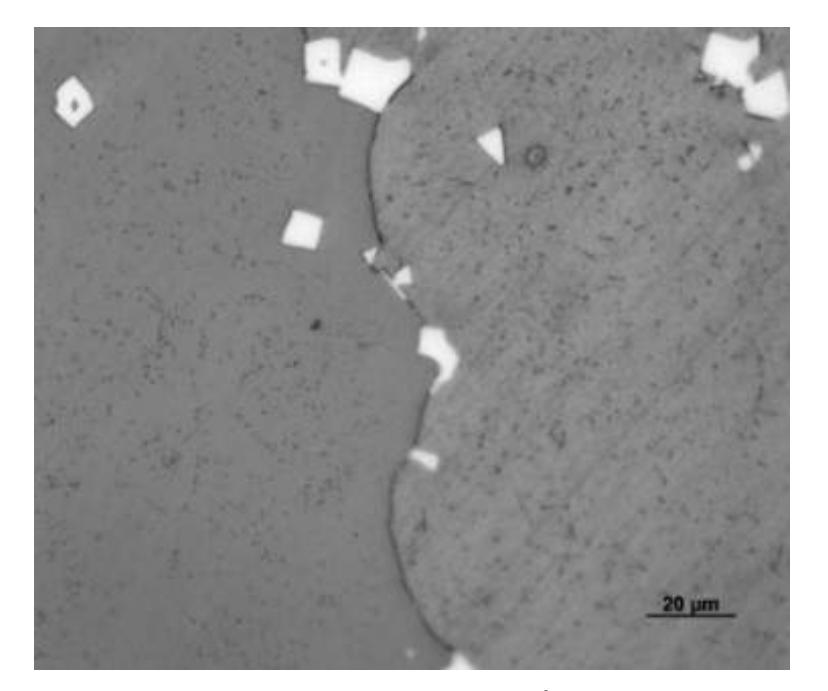


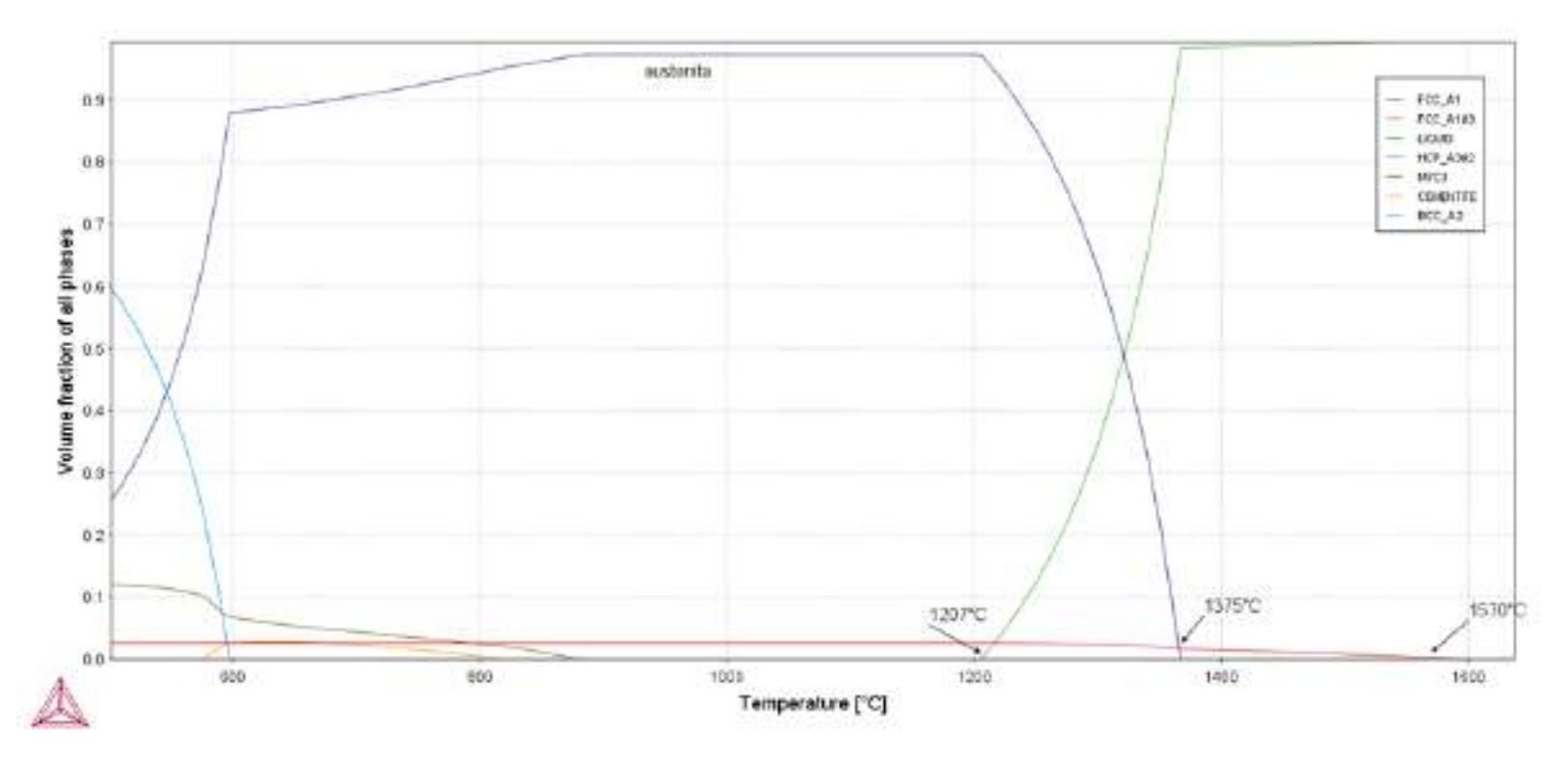
Imagem em MO. Ataque químico: Nital, 3%. Aumento original de 500x.





SEQUENCIA DE SOLIDIFICAÇÃO

- Diagrama da fração volumétrica das fases (líquido, austenita, cementita, ferrita, M₇C₃ e NbC) em função da temperatura para o aço Hadfield com adição de Nb (1,5%C,13%Mn, 0,65%Si, 1%Mo e 2%Nb).
- Fração volumétrica de NbC a 1170°C: 1,6%.







OBJETIVOS

O MAGMASOFT® (versão 6.1) foi utilizado para a otimização do projeto de fundição do revestimento e manto de britadores cônicos produzidos em aço Hadfield.

- Desenvolvimento de liga: aço Hadfield com adição de Nb.
- Objetivo: Resistencia a abrasão e moderada resistência ao impacto.







METODOLOGIA

 Revisão do sistema de fundição (canais e massalotes) proposto pela empresa de fundição indicada pelo Cliente, utilizando o MAGMASOFT®.

 Definição de faixas de composição química dos principais elementos a serem controlados (Mn, C, Nb, Ti, P e S).

 Orientação para a técnica de adição do Ti e Nb: temperatura e tempo para obter adequada dissolução das adições; rendimentos previstos.





METODOLOGIA

- Orientação para o tratamento térmico de solubilização.
- Definição de corpo de prova representativo das peças, a ser fundido do mesmo material e submetido ao mesmo ciclo de tratamento térmico aplicado nas peças, visando a caracterização do material ao final da produção.
- Caracterização microestrutural (MO e MEV) e análise química do corpo de prova.





SIMULAÇÕES NO MAGMASOFT®

- O MAGMASOFT® foi utilizado para a otimização do sistema de fundição para produção dos protótipos de britadores cônicos (constituído de dois componentes: manto e revestimento) de modo a garantir a sanidade desses componentes.
- A apresentação será focada no desenvolvimento para o revestimento.

Revestimento para britador cônico







SIMULAÇÕES NO MAGMASOFT®

Nas simulações, as seguintes características foram avaliadas:

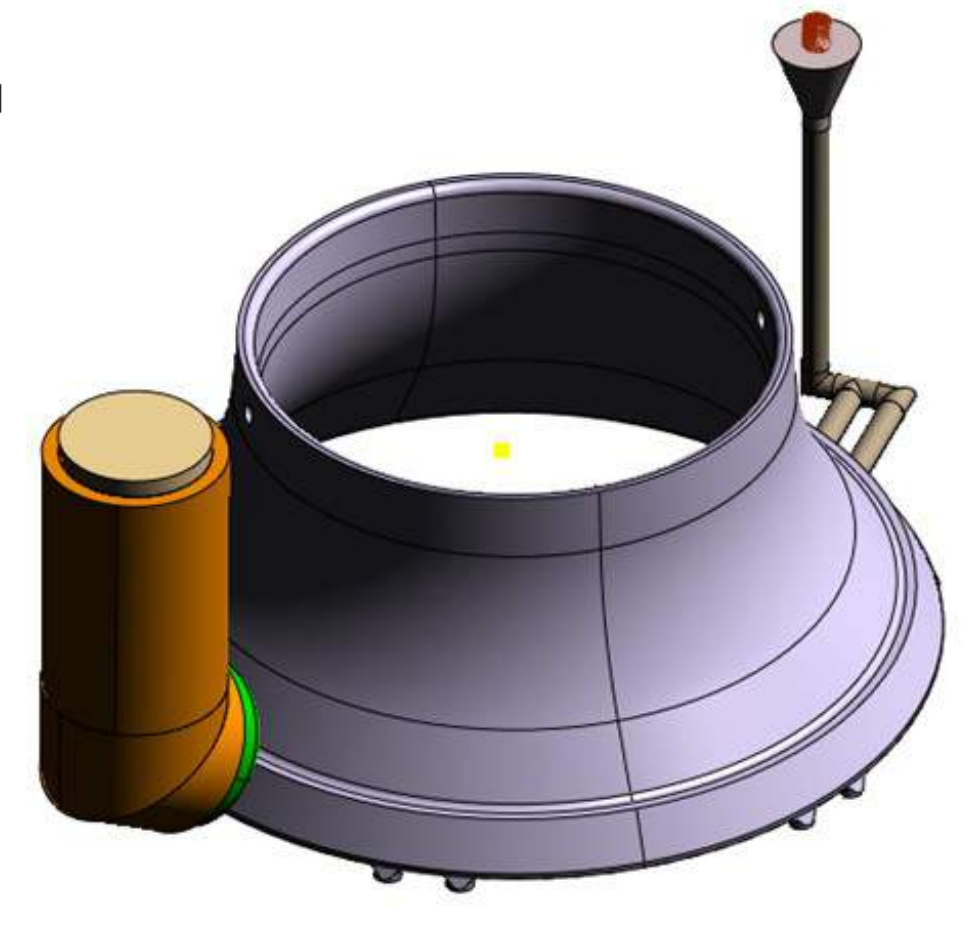
- Ocorrência de turbulências durante o enchimento, principalmente no canal de descida.
- Tempo de enchimento do molde e temperatura ao final do enchimento nos locais críticos das peças.
- Sequência de solidificação do conjunto peça/massalote e sistema de canais.
- Sanidade dos protótipos fundidos: presença de porosidades em regiões críticas das peças.





VERSÃO ORIGINAL – SIMULAÇÕES MAGMASOFT®

Revestimento para britador cônico



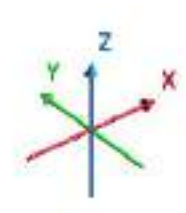






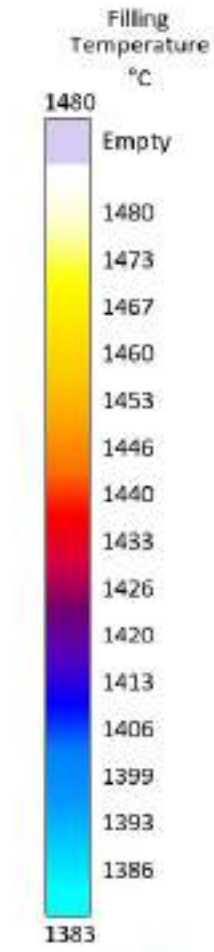
SIMULAÇÃO DO ENCHIMENTO - VERSÃO ORIGINAL

Observa-s temperat tratandocom altí de sol fluidez p peça com



v16 Pouring, Filling Temperature 1min 12.6s X-Ray: on



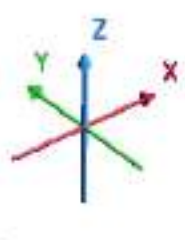






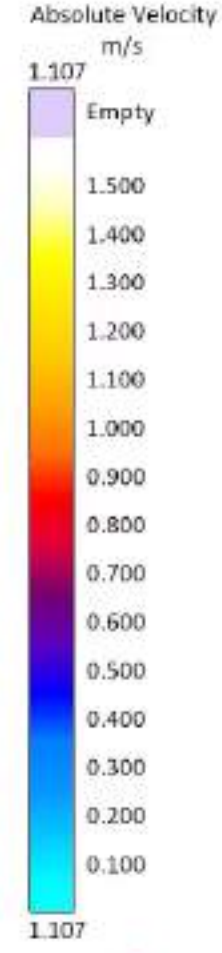
SIMULAÇÃO DO ENCHIMENTO – VERSÃO ORIGINAL

Observa-se velocidades um pouco elevadas no início do enchimento da peça, porém depois o enchimento segue tranquilo.



v16 Pouring, Absolute Velocity 0.0ms, 0.00 % X-Ray: on









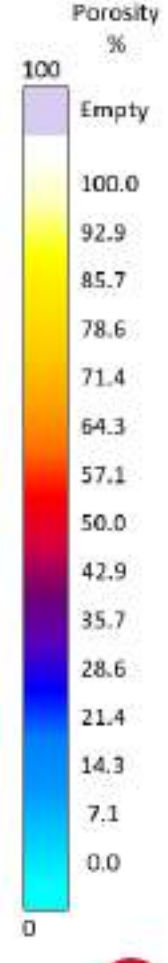
POROSIDADES/RECHUPES

Há indicações de rechupes ao longo de toda a peça, em maioria de baixa intensidade e um rechupe de maior intensidade ao lado dos ataques.



v16 Solidification & Cooling, Porosity 4h 20min 3s, 100.00 % X-Ray: on, range [50.00, 100.00] %



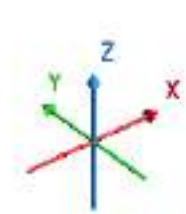






CRITÉRIO DE NIYAMA

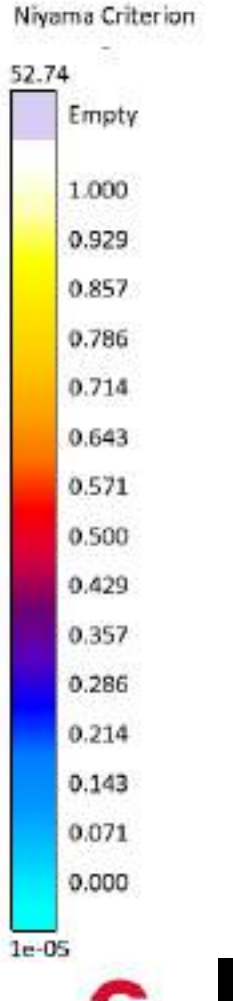
Há indica inferiores de toc indicando tendência microrrec



v16 Solidification & Cooling, Niyama Criterion 4h 20min 3s

X-Ray: on, range [0.00, 0.20] -









CONSIDERAÇÕES

- Os resultados de enchimento (Temperature e Filling Temperature) mostraram a ocorrência de uma perda de temperatura durante o enchimento, que chega a atingir valores próximos da Tliquidus na região superior da peça. Mas, o material possui elevada fluidez que propicia o enchimento, sendo verificada experimentalmente.
- Os resultados de velocity (enchimento) mostraram velocidades de enchimento relativamente altas no início gerando pequenas turbulências, porém o enchimento segue normalmente até o seu término.

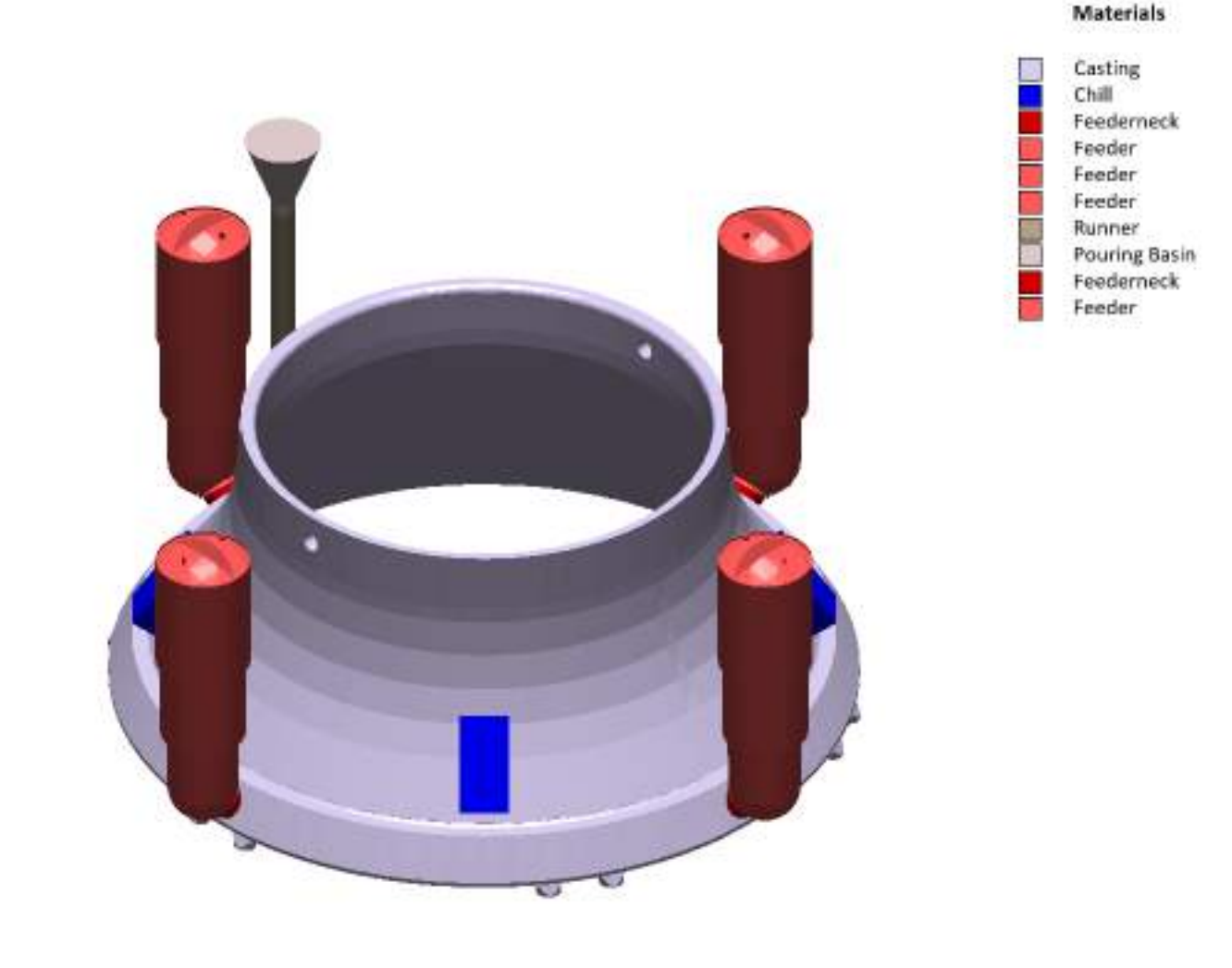
 Presença de microporosidades na região inferior da peça – resultados de porosity e critério de Niyama (<0.2 na peça).

É possível melhorar o sistema de alimentação original?

Com a presença de Carbonetos de Nióbio na peça há maior resistência ao desgaste, porém há uma preocupação maior com a sanidade da peça para evitar falhas no material



VERSÃO PRODUZIDA – SIMULAÇÕES MAGMASOFT®

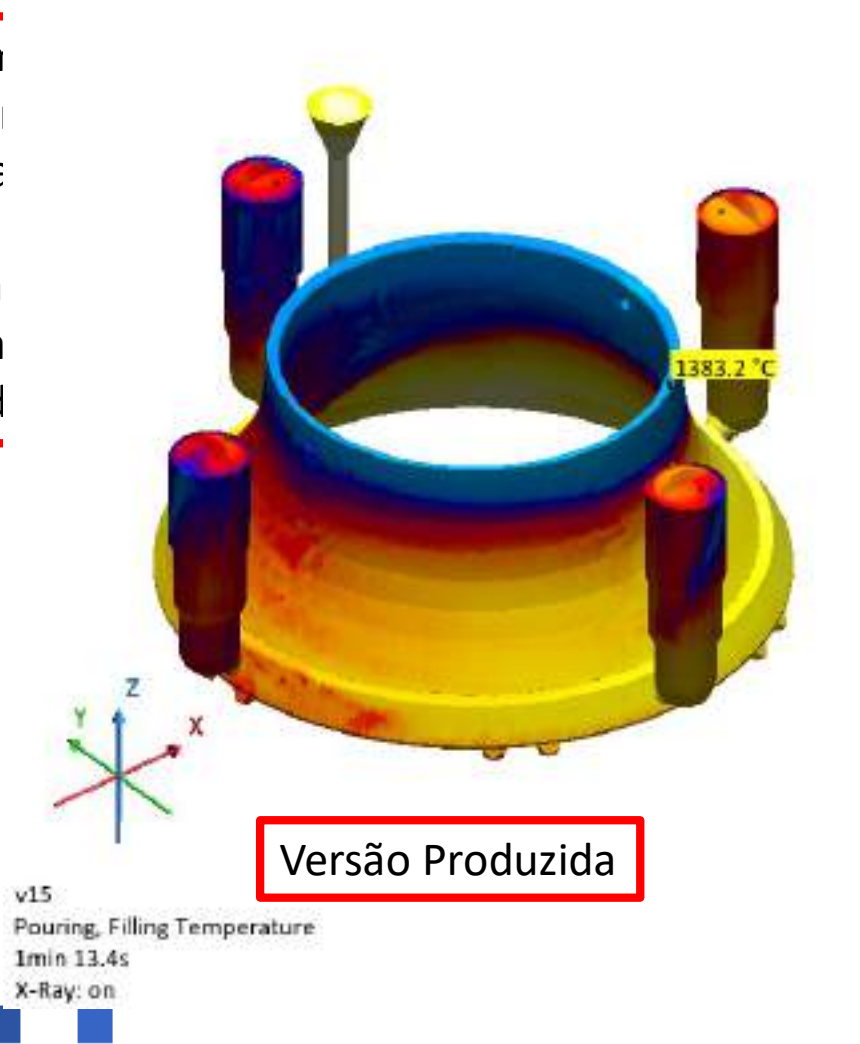


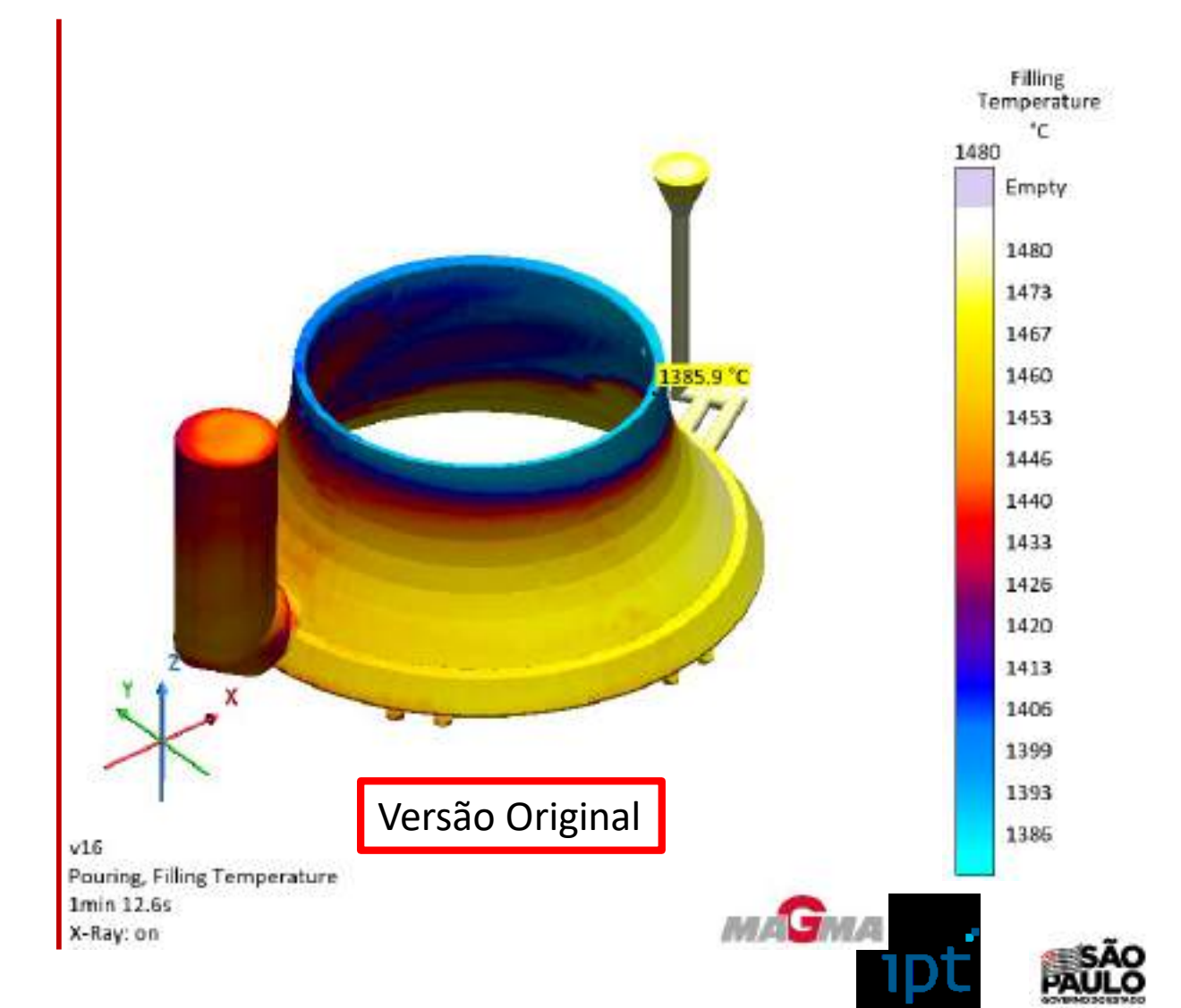




SIMULAÇÃO DO ENCHIMENTO – VERSÃO PRODUZIDA

Assim con versão o apresenta a perda temperatura compensada alta fluidez d





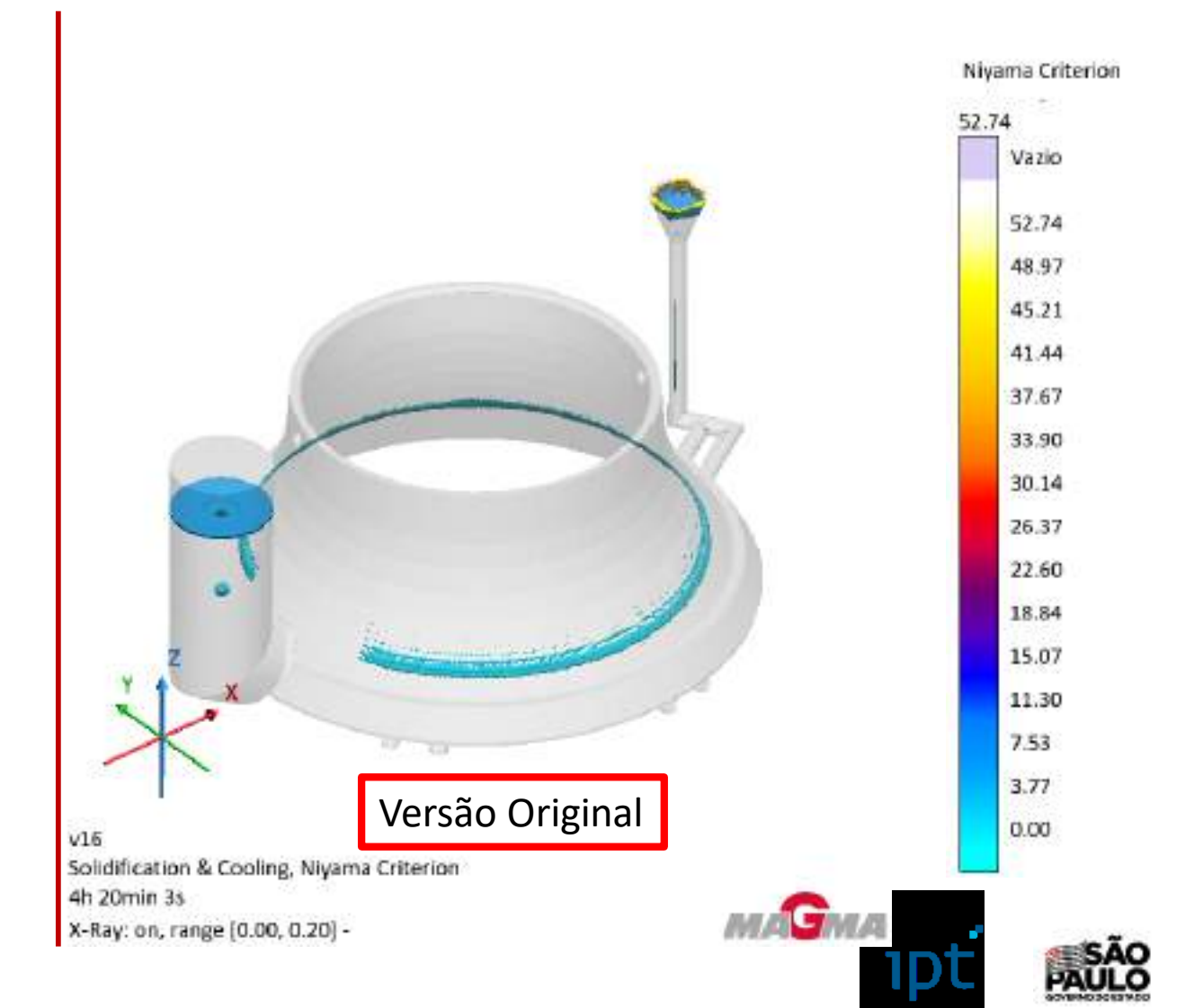
POROSIDADES/RECHUPES

Há uma menor incidência de rechupes de baixa intensidade e ambos tem rechupes de alta intensidade perto de do canal ataque. Versão Produzida Solidification & Cooling, Porosity 2h 31min 59s, 100.00 % X-Ray: on, range [50.00, 100.00] %



CRITÉRIO DE NIYAMA





CONSIDERAÇÕES

- A adição dos resfriadores foram necessários para obtenção de peça com a melhor sanidade possível – distância de alimentação.
- Foi dimensionado um corpo de prova apenso para extração de cps para ensaios mecânicos (impacto e desgaste).
- Os resultados mostraram a importância da utilização de resfriadores entre as luvas exotérmicas, mesmo que apresente menores dimensões (150 x 120 mm²).





CORPO DE PROVA APENSO

 Corpo de prova apenso com velocidade de solidificação semelhante à da peça para caracterização microestrutural e ensaios mecânicos.

Dimensões do corpo de prova apenso:

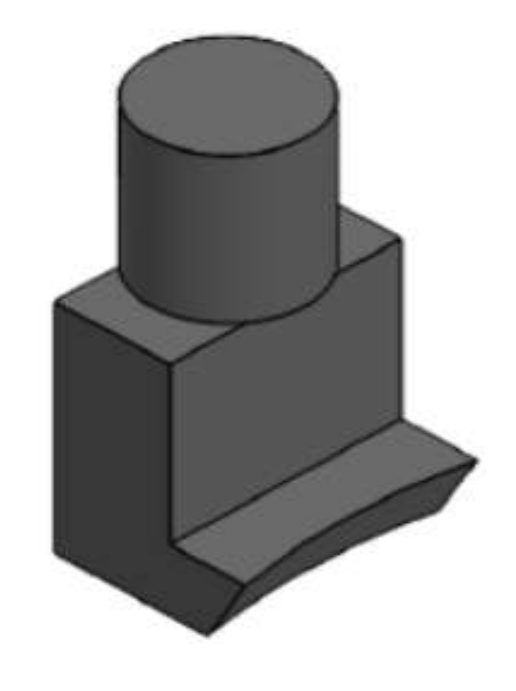
Espessura: 100 mm

Altura: 150 mm

Comprimento: 200 mm

Massa: 23,4 Kg.

Luva exotérmica com módulo de 4,13 cm, volume de 2850 cm².







MOLDAGEM

Etapas da moldagem do revestimento para britador cônico









PEÇA FUNDIDA PARA TRATAMENTO TÉRMICO



Registro do momento de imersão das peças no tanque de água , durante o tratamento térmico de solubilização.

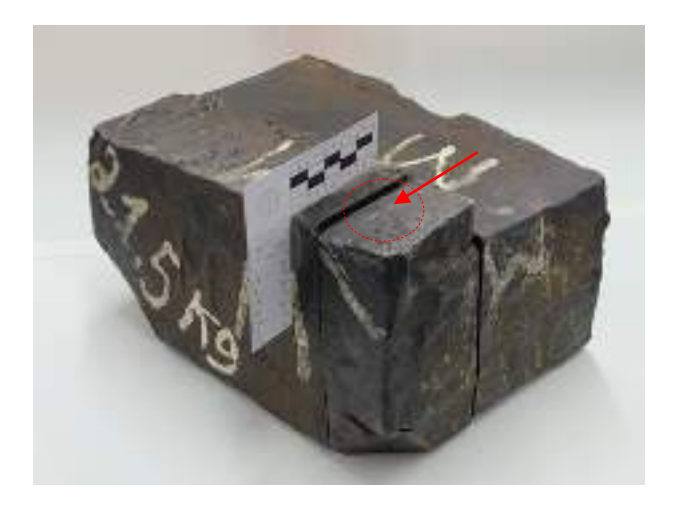




COMPOSIÇÃO QUÍMICA – ANÁLISE IPT

Liga metálica	AQ	%C	%Mn	%Si	%Mo	%Cr	%S	%P	%Nb	%Ti
Aço Hadfield com Nb	IPT	1,48	12,9	0,69	0,98	0,20	0,005	0,032	1,25	0,07

Revestimento

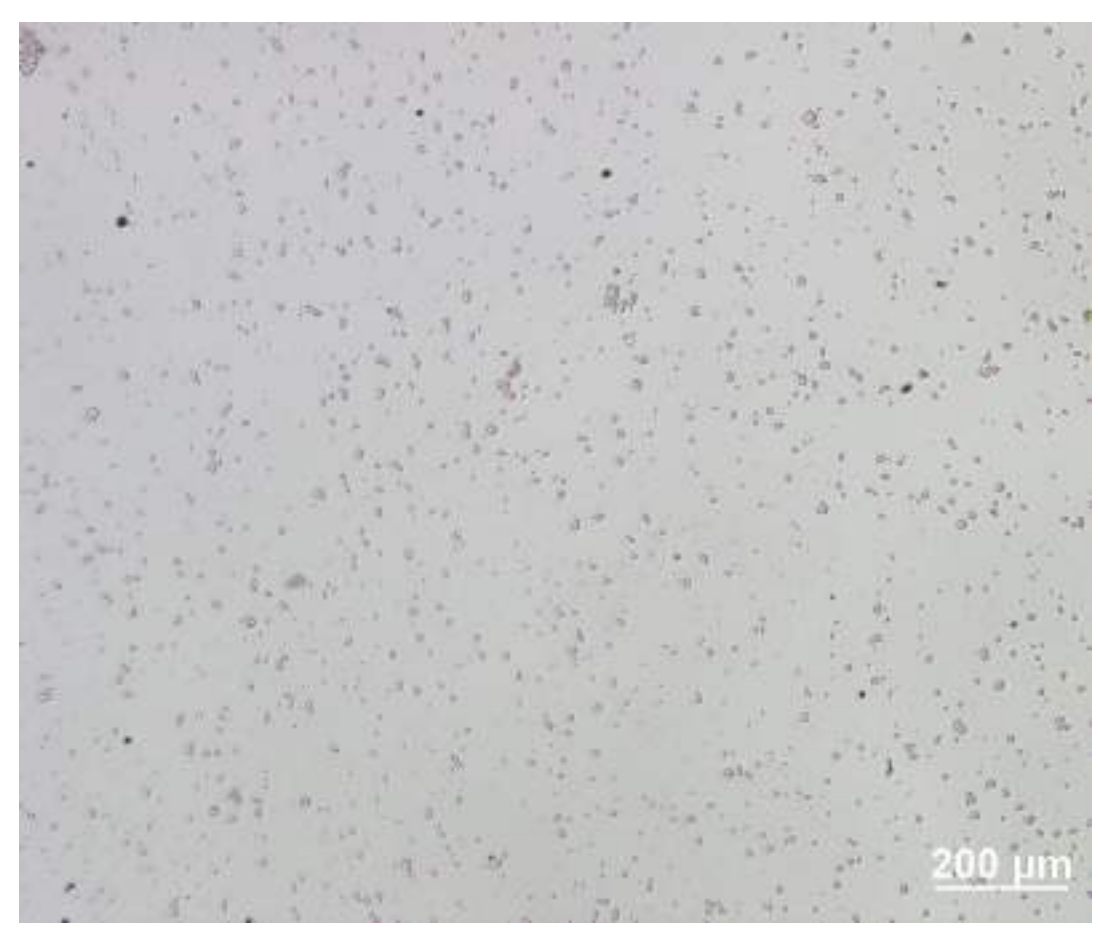


As análises de microestrutura e ensaios mecânicos foram realizadas no corpo de prova apenso (dobramento, impacto Charpy e roda de borracha).

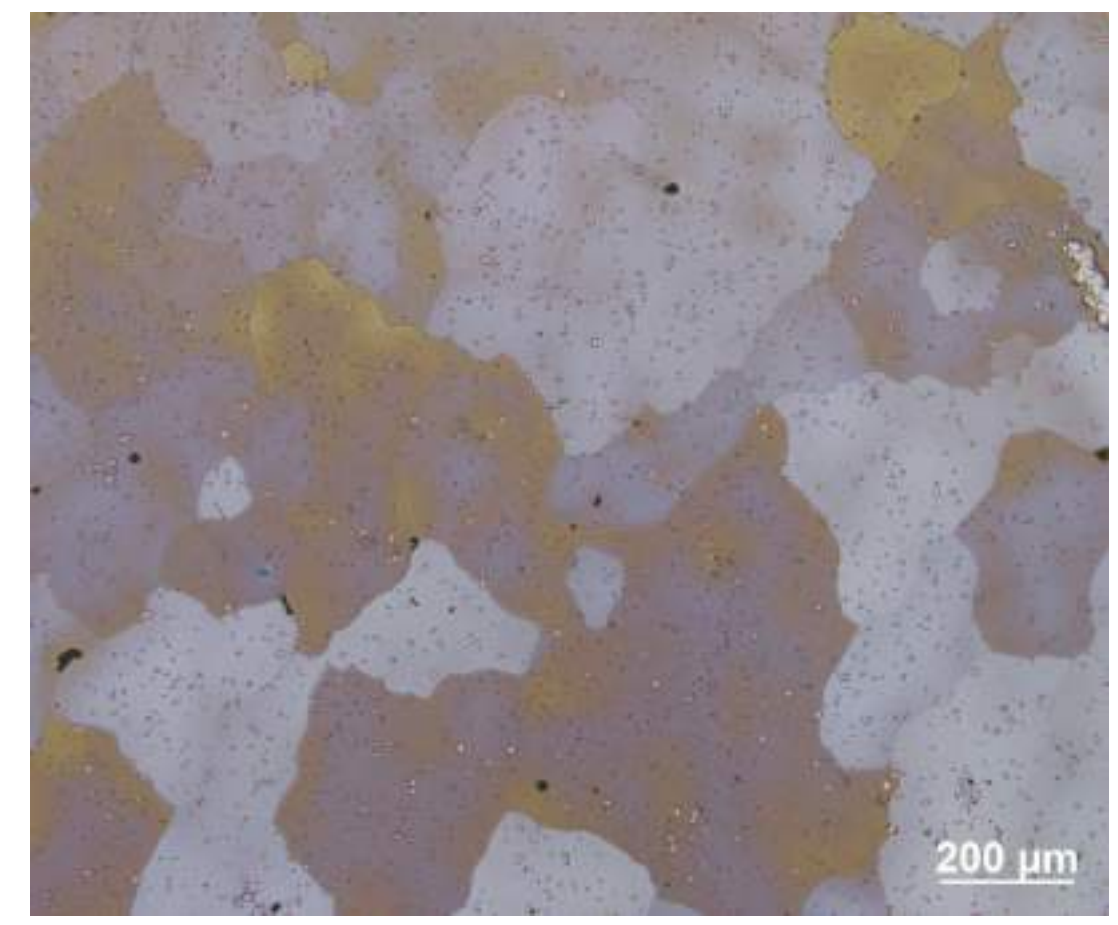




CARACTERIZAÇÃO MICROESTRUTURAL- REVESTIMENTO



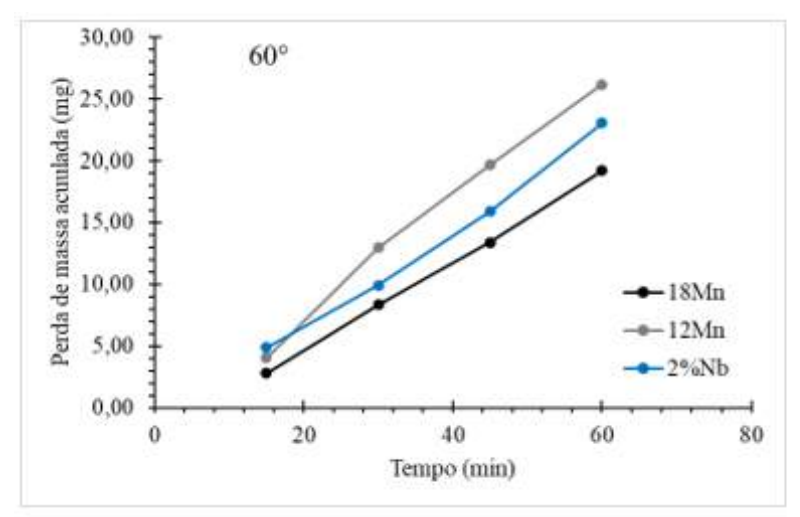
Revestimento, sem ataque. Aumento original de 50x.

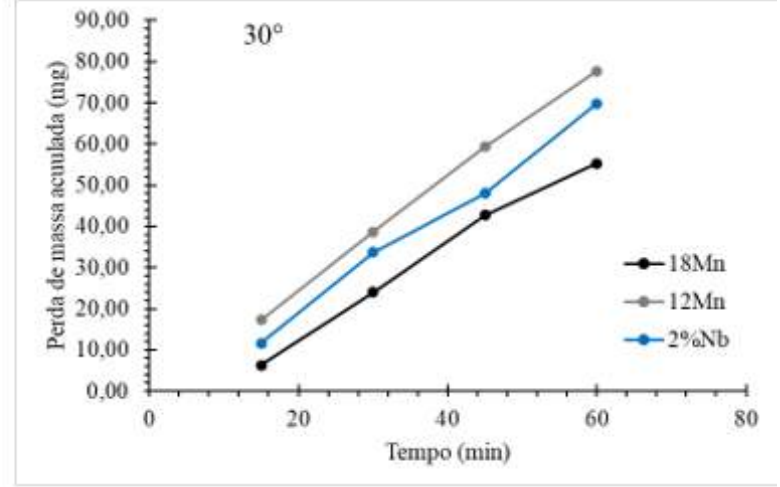


Revestimento, ataque: Nital 2%. Aumento original de 50x. TG: 200 ± 40 μm, ASTM E112.

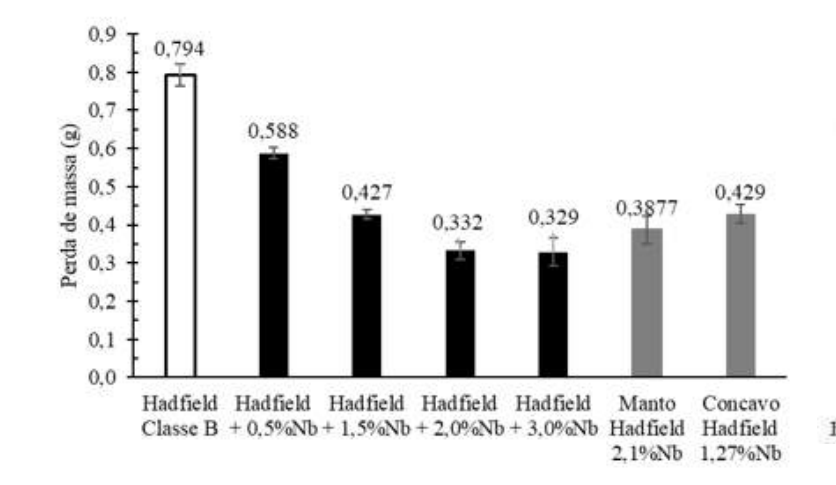
RESULTADOS: ENSAIO LABORATORIAL

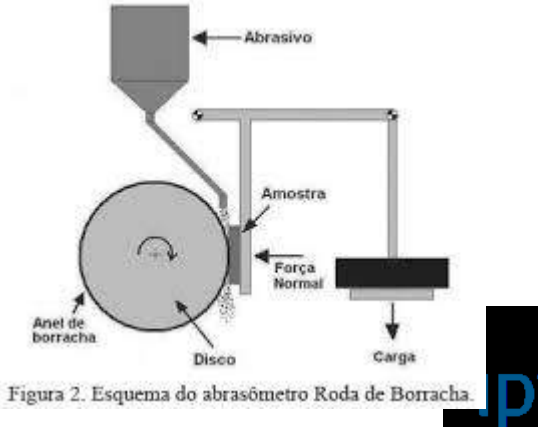
Abrasão/Impacto





Roda de borracha/ Abrasão

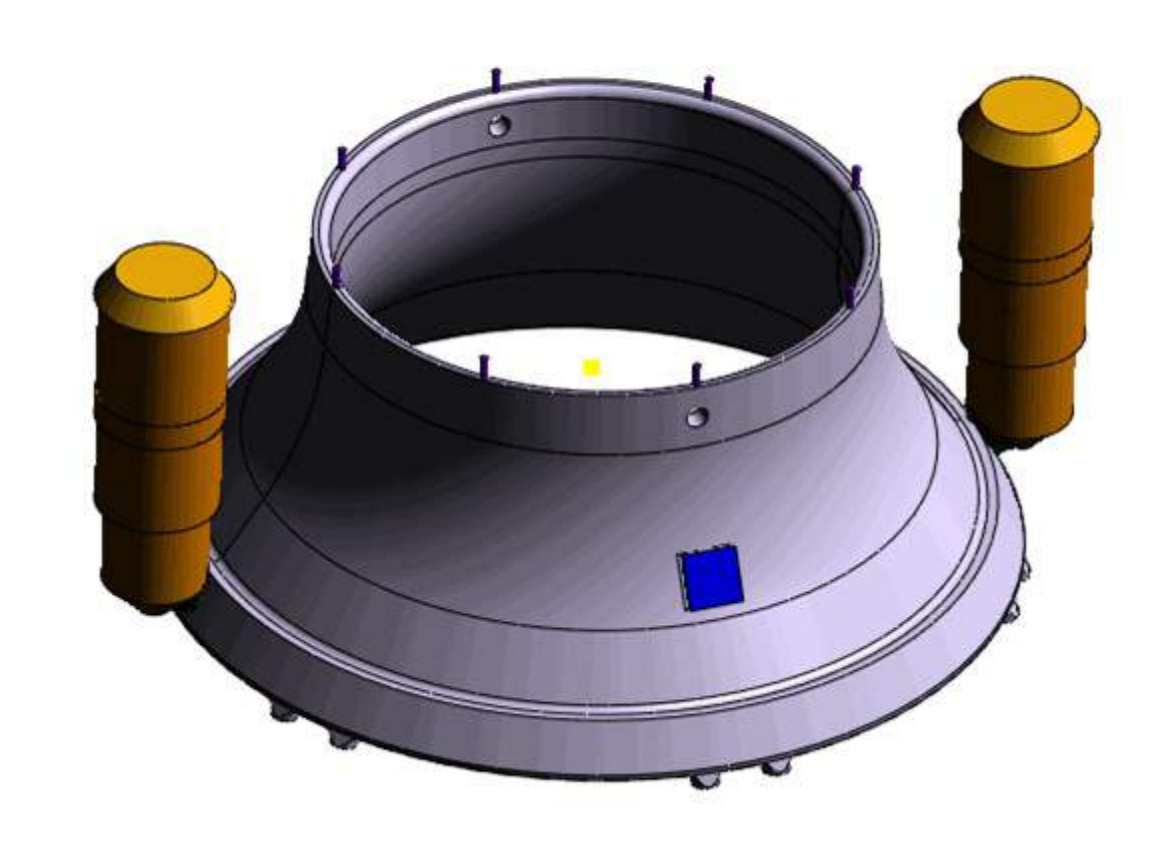






OTIMIZAÇÃO – SIMULAÇÕES MAGMASOFT®

- O sistema com 4 luvas performou conforme o esperado, porém apresenta um rendimento baixo;
- Será possível aumentar o rendimento e manter a sanidade similar ao sistema com 4 luvas?
- Para isso fizemos uma otimização com:
 - Nº de luvas 2 a 4 luvas/resfriadores;
 - Tamanho e posição de Resfriadores.
 - Largura (100 a 200mm) e Espessura (30 a 60mm);
 - Posição: 0 a 100mm (0 mais alto).







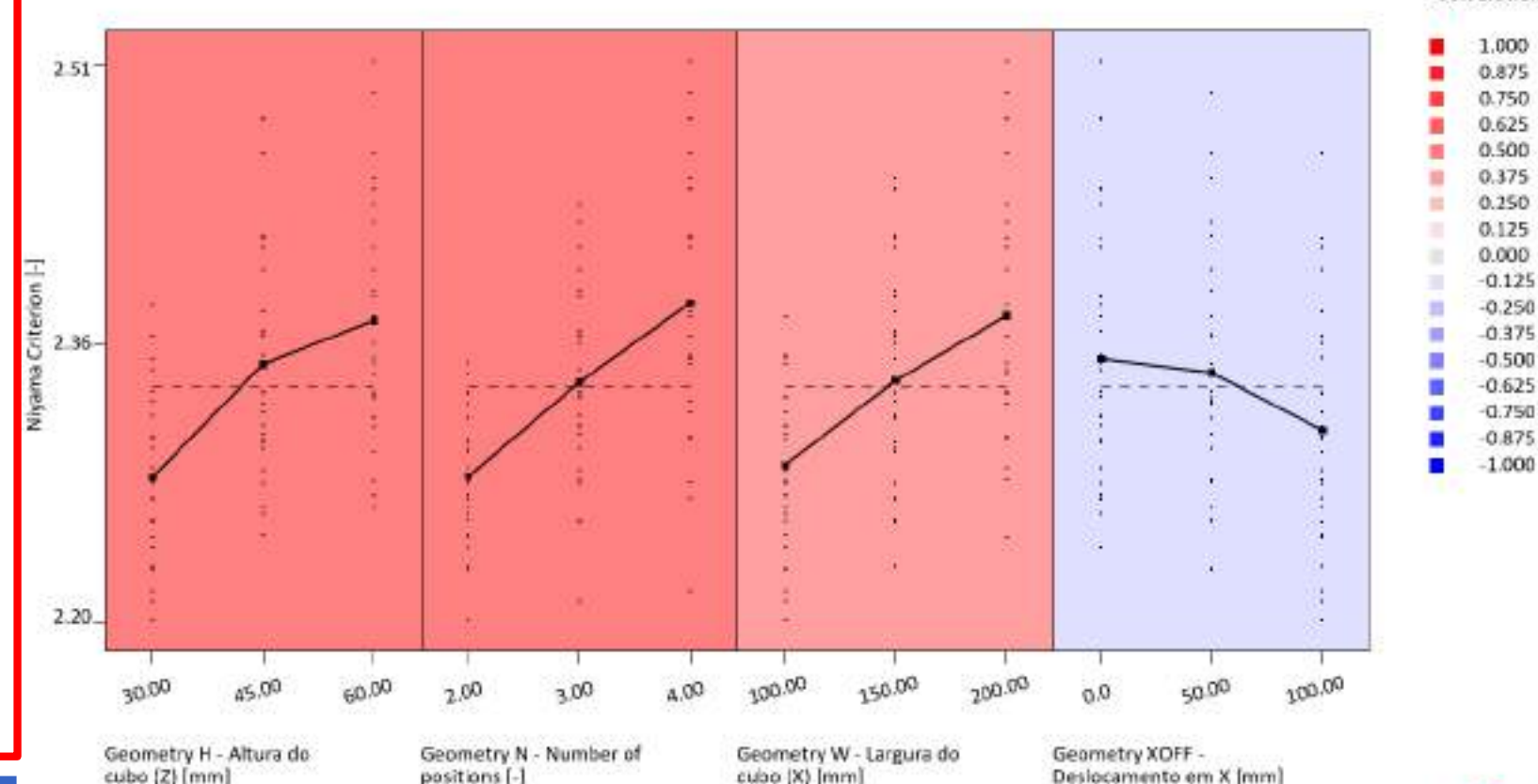
OTIMIZAÇÃO – SIMULAÇÕES MAGMASOFT®

	Rechupe Volume Ponderado	Minimize	~	{Solidification & Cooling/Porosity/End of Solidification & Cooling/Weighted Volume/Casting All IDs}
	Reduzir Pontos Quentes FSTime	Minimize	~	{Solidification & Cooling/Hot Spot FSTime/Weighted Volume/Casting All IDs}
	Aumentar o rendimento metálico	Maximize	~	{Volume of Casting All IDs} / {Volume of Cast Alloy Class}
	Rechupe Max	Minimize	~	{Solidification & Cooling/Porosity/End of Solidification & Cooling/Max/Casting ID 1}
	Nivama Criterion	Maximize	~	{Solidification & Cooling/Niyama Criterion/Avg/Casting ID 1}

Quero Niyama médio na peça o maior possível.

a) Quanto ao tamanho do resfriador: quanto maior melhor;

b) Quanto a posição: quanto mais para cima melhor.



c) Quanto a quantidade de luvas/resfriadores: quanto mais melhor.

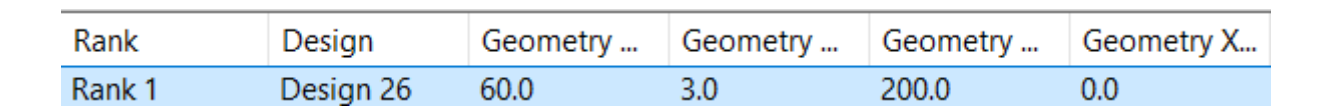




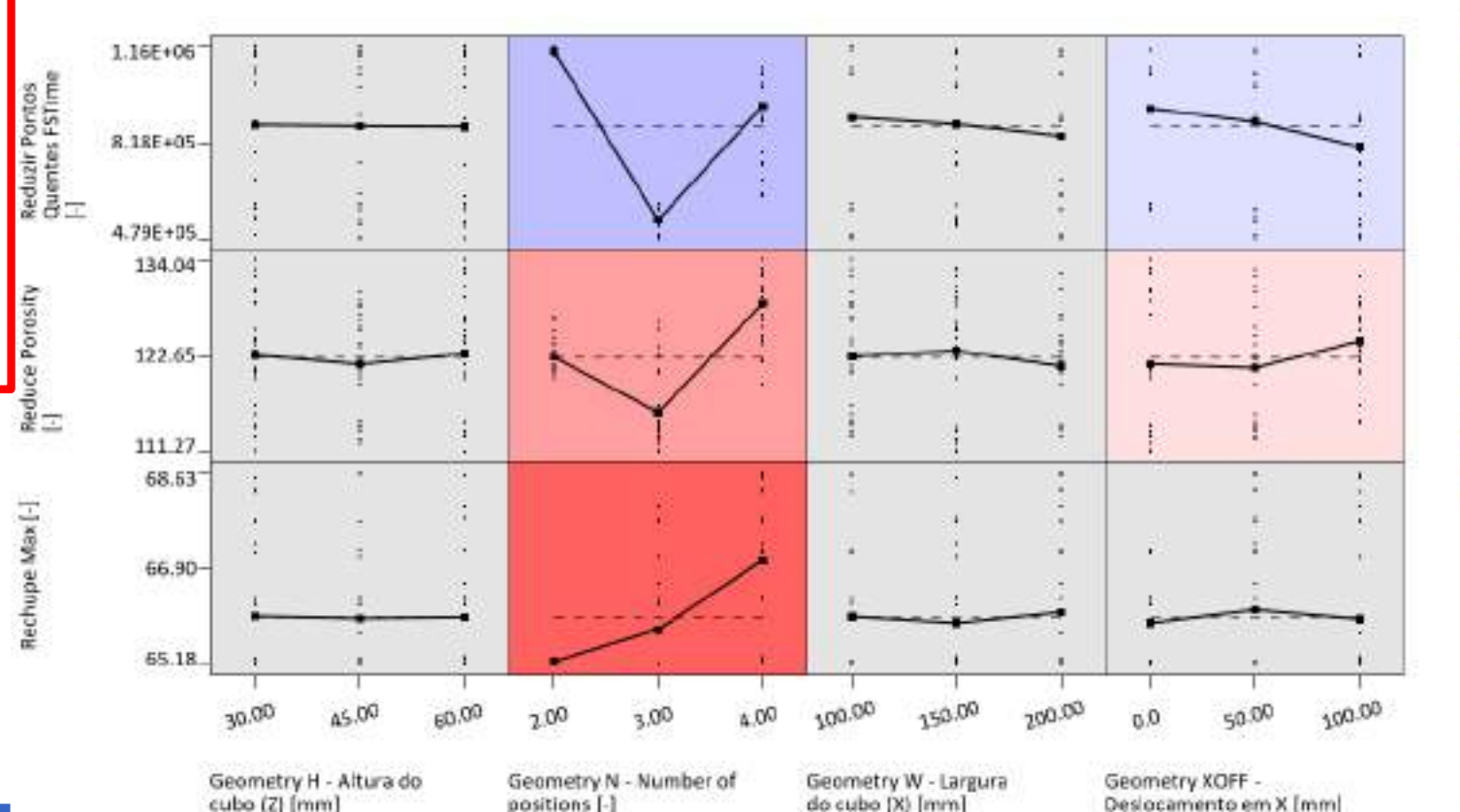


Correlation

SIMULAÇÃO DO ENCHIMENTO – VERSÃO OTIMIZADA



Para os pontos quentes e volume ponderado de rechupe: melhor performance para 3 luvas.



Para a intensidade máxima de rechupes: quanto menos luvas melhor.

Com 3 luvas teremos também um rendimento melhorado!







Correlation

1.000

0.875

0.625

0.500

0.375

0.125

0.000

-0.125 -0.250

0.375

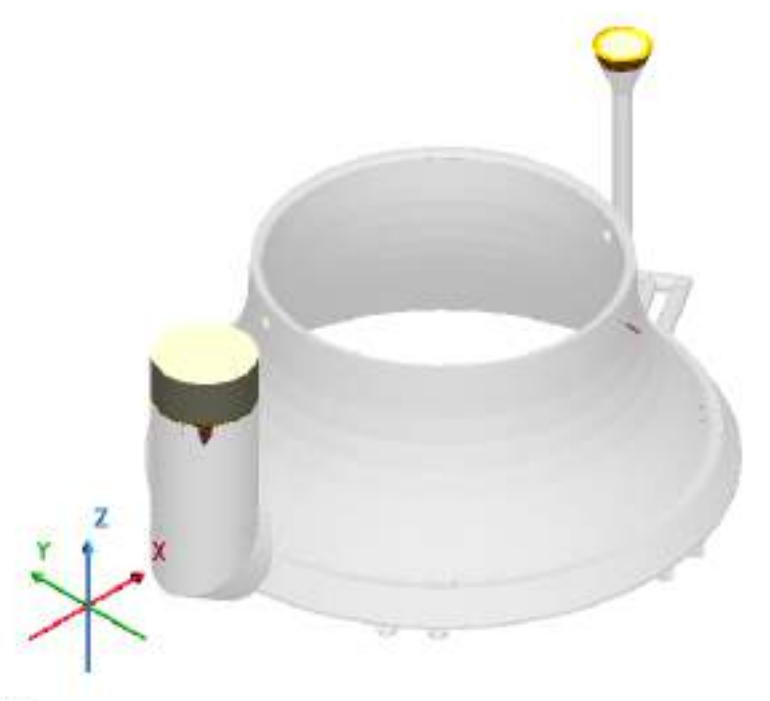
-0.500 -0.625

-0.750

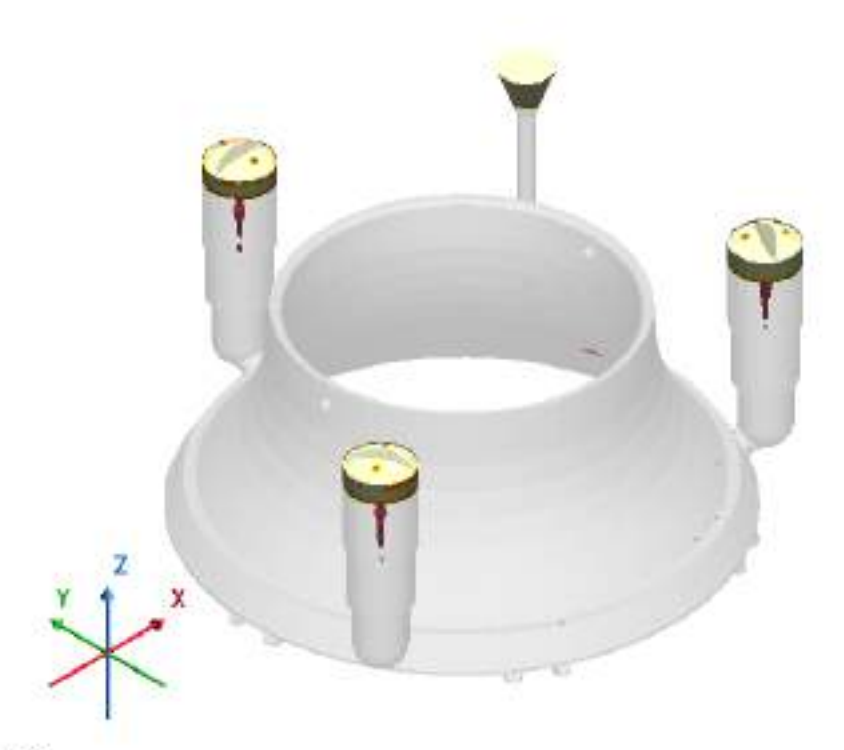
-0.875

-1.000

SIMULAÇÃO COMPLETA – VERSÃO OTIMIZADA



v16 Solidification & Cooling, Porosity 4h 20min 3s, 100.00 % Raio-X: ligado, range [50.00, 100.00] %



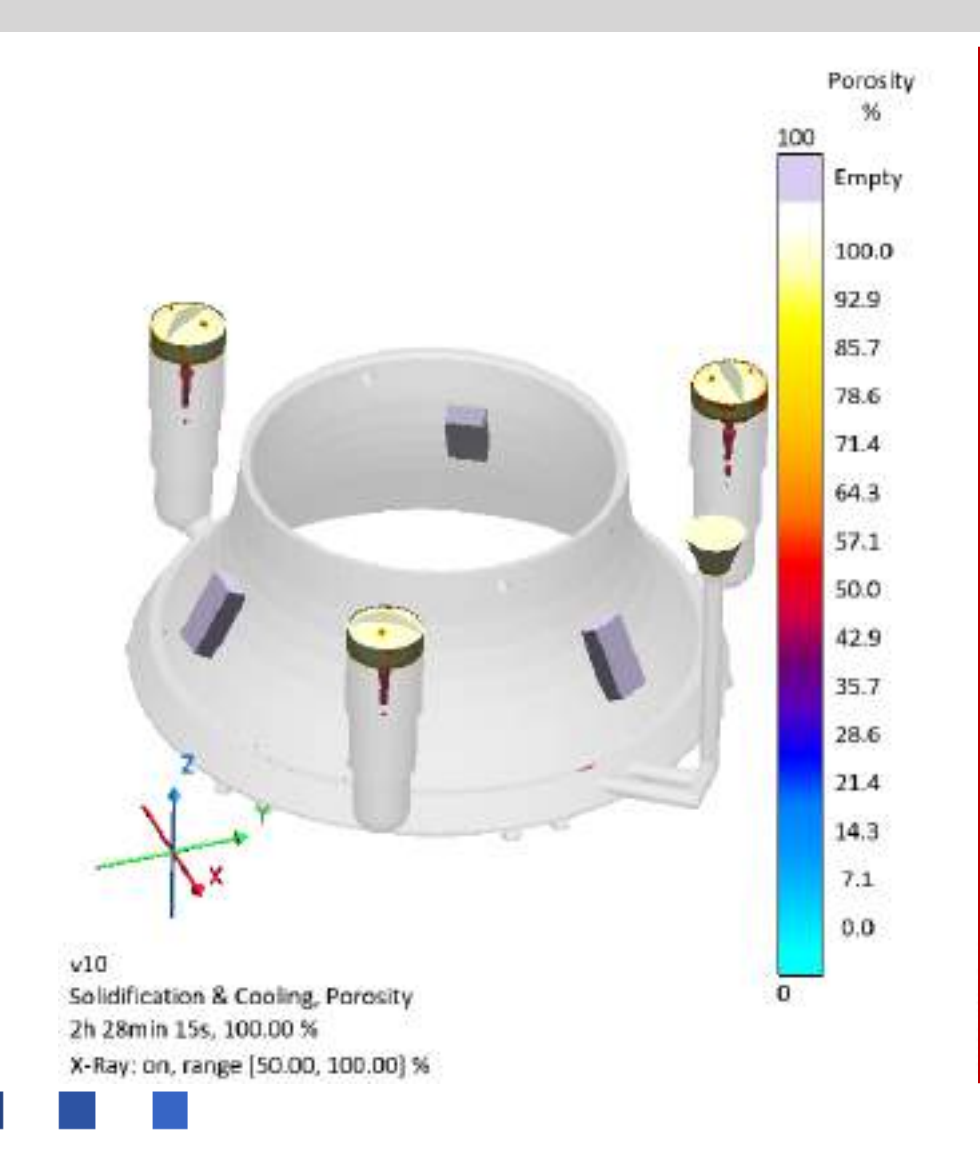
v10 Solidification & Cooling, Porosity 2h 28min 15s, 100.00 % Raio-X: ligado, range [50.00, 100.00] %

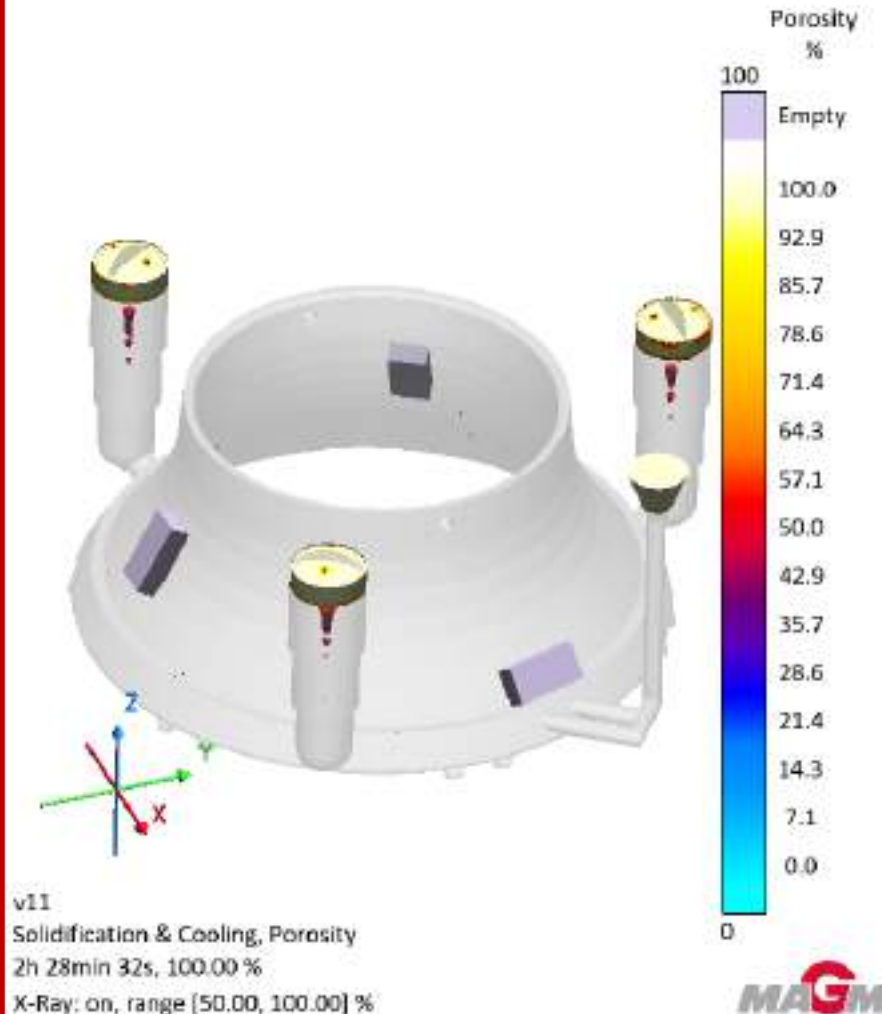
Há menores indicações de de rechupes baixa intensidade, porém rechupe próximo ataques aos continua intenso. Será que virando o resfriador há melhora?





SIMULAÇÃO COMPLETA – VERSÃO OTIMIZADA



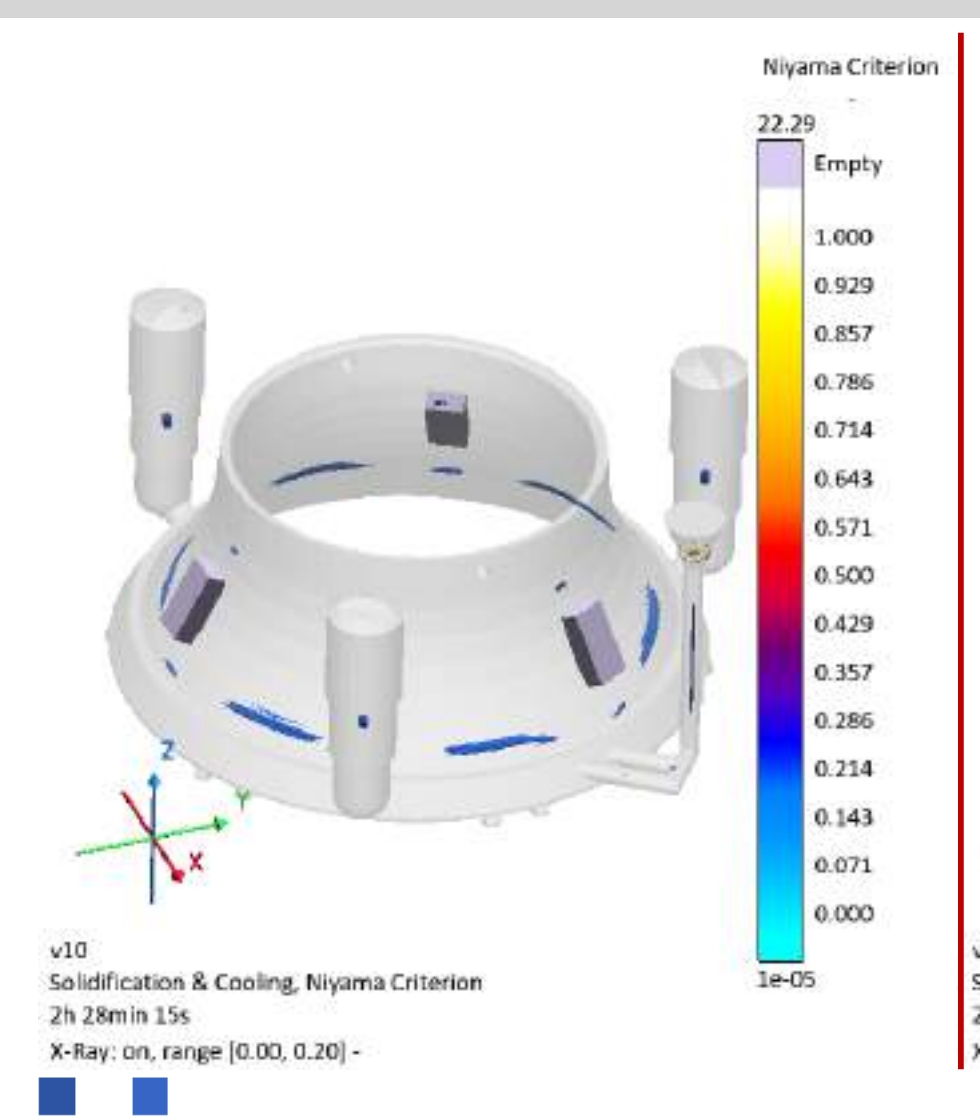


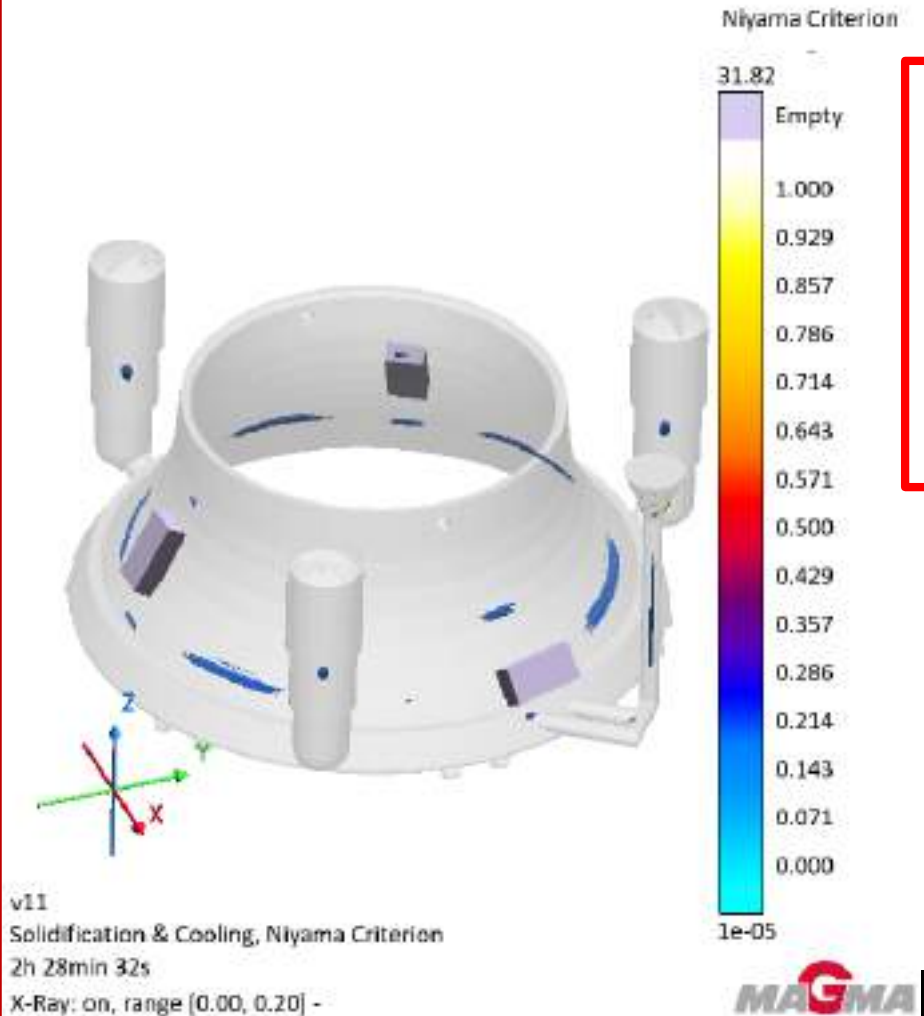
As indicações de rechupes de maior intensidade foram reduzidas com sucesso ao virar o resfriador!





NIYAMA





Há faixas
estreitas em
ambos casos com
Niyama < 0,2.
As indicações são
pouco maiores
que com 4 luvas.





CONCLUSÕES

- O MAGMASOFT® foi importante para a obtenção de peças com defeitos reduzidos e avaliação do sistema de alimentação original.
- Tratamento térmico de solubilização foi eficiente para obtenção de microestrutura essencialmente austenítica com os carbonetos de Nb bem distribuídos na matriz.
- Foi realizada a definição de corpo de prova apenso representativo das peças, sendo fundido do mesmo material e submetido ao ciclo de tratamento térmico aplicado nas peças, visando a caracterização do material ao final da produção.





PRÓXIMOS PASSOS

- Produção de aço Hadfield com o sistema de alimentação otimizado através das simulações no MAGMASOFT®, considerando:
 - sanidade das peças;
 - rendimento metálico.

- Acompanhamento do teste em campo e posterior caracterização das peças trabalhadas.
- Desenvolvimento de liga: produção de revestimento e manto de diferentes ligas de aço Hadfield otimizadas (com adição de diferentes teores de Mn, Nb, N, Cr, entre outros) selecionadas com base em resultados laboratoriais.
 - Ensaio de impacto/abrasão





AGRADECIMENTOS

Equipe da Magmasoft, em especial ao Thiago Nagasima pela colaboração nessa apresentação e no desenvolvimento do projeto de fundição otimizado. Aos pesquisadores do IPT.

 Equipe técnica do IPT, em especial ao Alberto, Hélio e Cassio.





- Laboratório de Processos Metalúrgicos (LPM)
- Materiais Avançados (MA)

biankanani@ipt.br (11) 970764489



